

### Конструирование оконных функций (продолжение п. 3.4)

Выбор оконной функции важен для получения оценок параметров исследуемого сигнала при наличии флуктуационных помех. При обнаружении сигналов с большим динамическим диапазоном ДВПФ оконной функции должно иметь узкий главный лепесток и низкий уровень боковых лепестков. Поскольку универсальных окон, удовлетворяющих различным задачам спектрального анализа, не существует, актуальным является конструирование окон, оптимальных для решаемой задачи. Конструирование оконной функции может выполняться различными способами:

- использованием элементарных функций для аппроксимации отдельных участков окна;
- суммированием, перемножением или свёрткой нескольких функций;
- оптимизацией параметров оконной функции.

Многие практические оконные функции могут быть представлены с помощью обобщённого косинусного окна [1]

$$w_{\text{ст}}(k) = \sum_{r=0}^R a_r \cos \frac{2\pi}{N} rk, \quad -N/2 \leq k \leq N/2. \quad (3.4.10)$$

Представляя косинус суммой двух экспонент и используя теорему смещения, находим соответствующее спектральное окно:

$$W_{\text{ст}}(\nu) = \sum_{r=0}^R 0,5 a_r \left[ Q_0 \left( \nu - \frac{r}{N} \right) + Q_0 \left( \nu + \frac{r}{N} \right) \right], \quad (3.4.11)$$

где

$$Q_0(\nu) = \frac{\sin \pi \nu (N+1)}{\sin \pi \nu} - \text{ядро Дирихле} \quad (3.4.12)$$

В качестве примера на рис. 3.4.2 изображено спектральное окно Ханна и три составляющие его компоненты при использовании лишь двух коэффициентов  $a_0 = a_1 = 0,5$ .

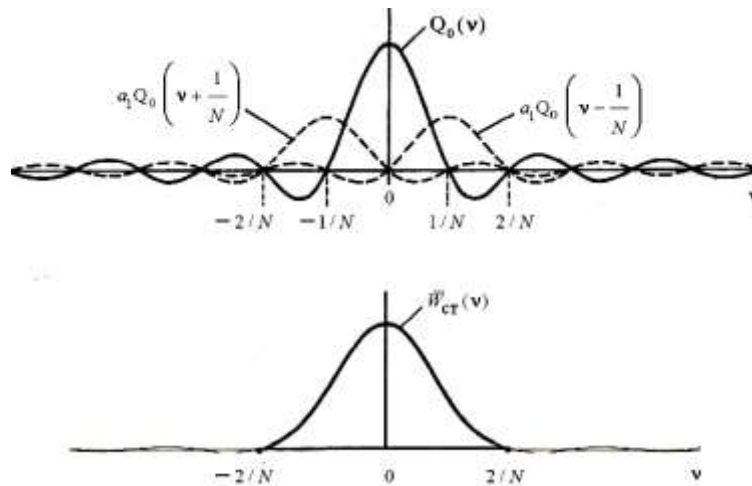


Рис. 3.4.2. Спектральное окно (4.11) при  $R=1$  и  $a_0 = a_1 = 0,5$

Как видно из рисунка, колебания спектрального окна  $W_{\text{ст}}(\nu)$  вне интервала  $[-2/N, 2/N]$  существенно меньше колебаний каждой из его составляющих. Это объясняется тем, что боковые лепестки смещённых ядер находятся в противофазе с боковыми лепестками центрального ядра Дирихле, что приводит к их значительной компенсации.

Соответствующие (3.4.10) и (3.4.11) временное и спектральное окна для ДПФ будут:

$$w(k) = \frac{1 + 2 \sum_{l=1}^L (-1)^l a_l \cos \frac{2\pi}{N} lk}{1 + 2 \sum_{l=1}^L a_l}, \quad 0 \leq k \leq N-1; \quad (3.4.13)$$

$$\bar{W}(v) = Q(v) + \sum_{l=1}^L (-1)^l a_l \left[ Q\left(v - \frac{l}{N}\right) + Q\left(v + \frac{l}{N}\right) \right]. \quad (3.4.14)$$

где

$$Q(v) = e^{-j\pi(N-1)v} \frac{\sin \pi v(N+1)}{\sin \pi v}. \quad (3.4.15)$$

Заметим, что коэффициенты при косинусах в (3.4.13) и при соответствующих им ядрах Дирихле в (3.4.14) меняют знак для нечётных  $l$ , а спектральное ядро  $Q(v)$  имеет фазовый множитель  $e^{-j\pi(N-1)v}$ . Это объясняется сдвигом оконной функции на  $N/2$  отсчётов вправо и отбрасыванием крайней правой точки.

В качестве ещё одного примера приведём так называемое окно Блэкмана для ДПФ, которое определяется следующим образом:

$$w(k) = \begin{cases} 0,42 - 0,5 \cos \frac{2\pi}{N} k + 0,08 \cos \frac{4\pi}{N} k, & k = 0, 1, 2, \dots, N-1, \\ 0, & \text{при других } k. \end{cases}$$

Его амплитудно-частотная характеристика получается с учётом (3.4.14)

$$W(v) = 0,42Q(v) - 0,5 \left[ Q\left(v - \frac{1}{N}\right) + Q\left(v + \frac{1}{N}\right) \right] + 0,08 \left[ Q\left(v - \frac{2}{N}\right) + Q\left(v + \frac{2}{N}\right) \right], \quad (3.4.16)$$

$$Q(v) = e^{-j\pi(N-1)v} \frac{\sin \pi v(N+1)}{\sin \pi v}.$$

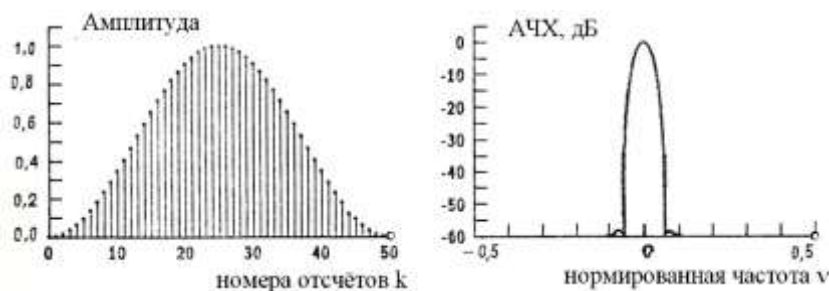


Рис. 3.4.3. Окно Блэкмана

Как видно из (3.4.16), частотная характеристика обобщённого окна представляется суммой сдвинутых по частоте характеристик прямоугольного окна  $Q(v)$ . При этом вторая, третья, четвёртая и пятая компоненты существенно уменьшают амплитуду бокового лепестка вблизи главного, в результате чего уровни боковых лепестков  $W(v)$  оказываются значительно ниже, чем у прямоугольного

окна. Однако ширина главного лепестка у окна Блэкмана оказывается в три раза больше, чем у прямоугольного.

Значения основных параметров рассмотренного семейства окон приведены в таблице 3.4.2.

Т а б л и ц а 3.4.2

Окно	МБЛ, дБ	Скорость спада боковых лепестков, дБ/октава	Ширина полосы главного лепестка
Прямоугольное	-13	-6	2/N
Ханна	-31	-18	4/N
Хэмминга	-43	-6	4/N
Блэкмана	-57	-6	6/N

В работе [2] предложен новый эффективный метод расчёта оконных функций, основанный на минимизации мощности его спектральных компонент вне пределов заданного интервала частот. С использованием этого метода можно реализовать как стандартные оконные функции, так и ряд новых функций с очень низким уровнем боковых лепестков (-100 дБ и ниже). Такие окна эффективны при обнаружении слабых гармонических сигналов в широкополосном шуме и при наличии интенсивных гармонических помех.

#### Литература

1. Марпл.-мл. С.Л. Цифровой спектральный анализ и его приложения / Пер. с англ. – М.: Мир, 1990.
2. Дворкович В.П. Новый метод расчёта эффективных оконных функций, используемых при гармоническом анализе с помощью ДПФ // Цифровая обработка сигналов. – 2001. – № 2, № 3.

### 3.5. Примеры решения задач (окна при ДПФ-спектральном анализе)

**Задача 1.** Задана последовательность отсчетов суммы трех синусоид с различными нормированными частотами, не совпадающими с бинами ДПФ:

$$x(k) = \sin 2\pi \frac{2,5}{16} k + \sin 2\pi \frac{3,5}{16} k + \sin 2\pi \frac{5,6}{16} k$$

Построить график ДВПФ для прямоугольного окна на интервале  $\nu \in [0,1]$  и графики ДПФ для  $N=16, 32, 64$ . ДПФ с  $N=32, 64$  получаются дополнением последовательности  $x(k)$  нулями.

*Решение.*

Графики изображены на рис. 1, 2, 3, 4. На графиках изображены коэффициенты ДПФ вычисленные без множителя  $\frac{1}{N}$ . На этих графиках показана также огибающая, которая является ДВПФ.

Как видно, добавление нулей улучшает визуализацию ДВПФ.

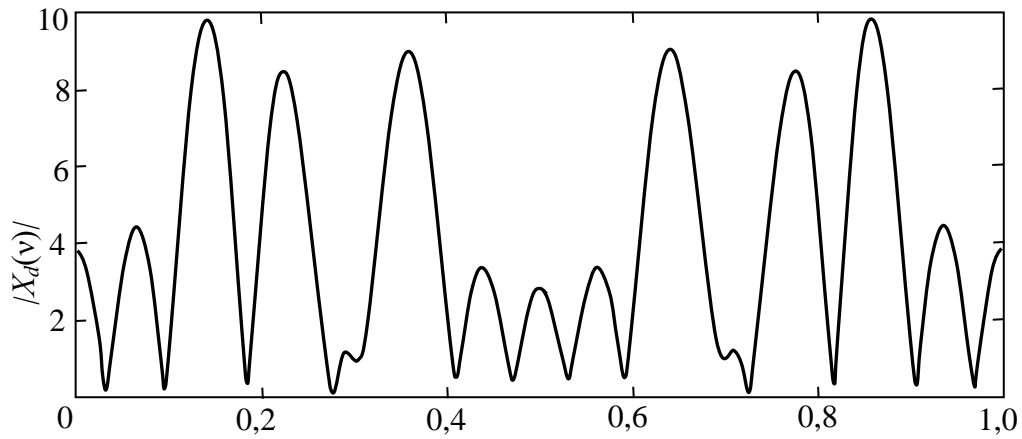


Рис. 1. График ДВПФ последовательности  $x(k)$  в случае прямоугольного окна

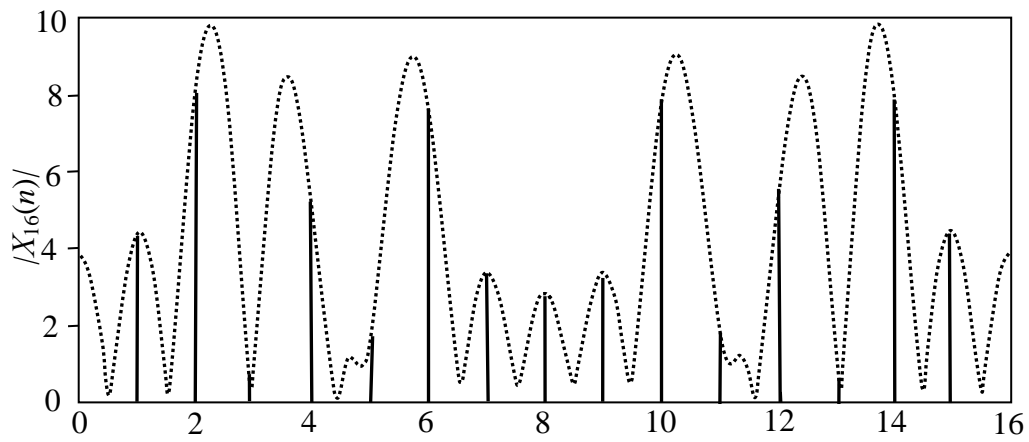


Рис. 2. График ДПФ последовательности  $x(k)$  для  $N = 16$

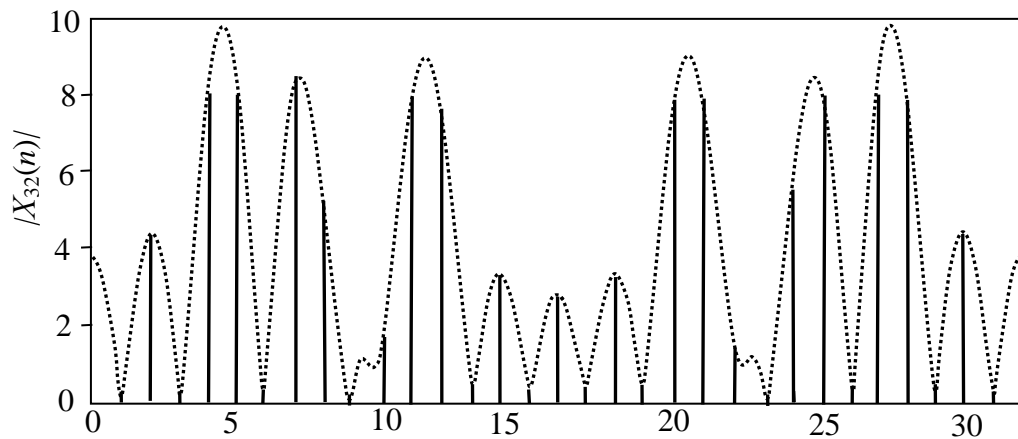


Рис. 3. График ДПФ последовательности  $x(k)$  для  $N = 32$

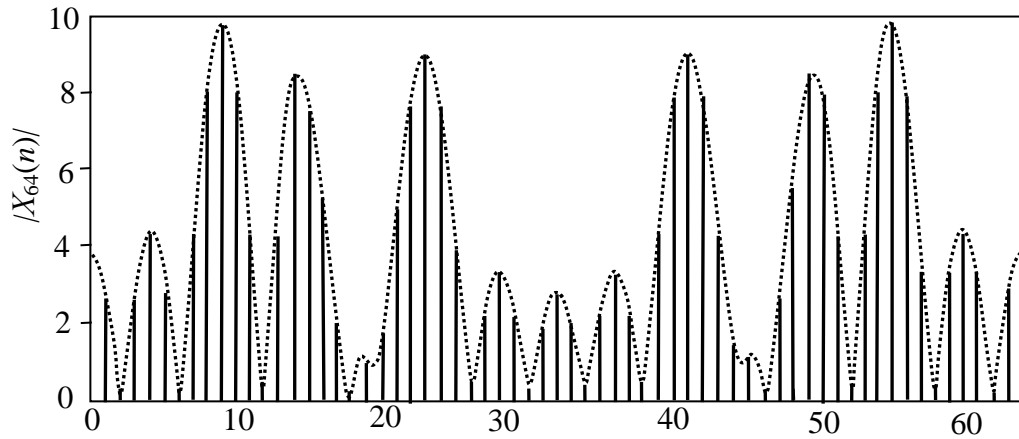


Рис. 4. График ДПФ последовательности  $x(k)$  для  $N = 64$

**Задача 2.**

Последовательность  $x(k)$  и оконная функция  $w(k)$  изображены на рис. 5. Образует новую.

$$y(k) = x(k) w(k).$$

Найти  $Y(n)$  и изобразить  $|Y(n)|$ . Оценить гребешковый эффект.

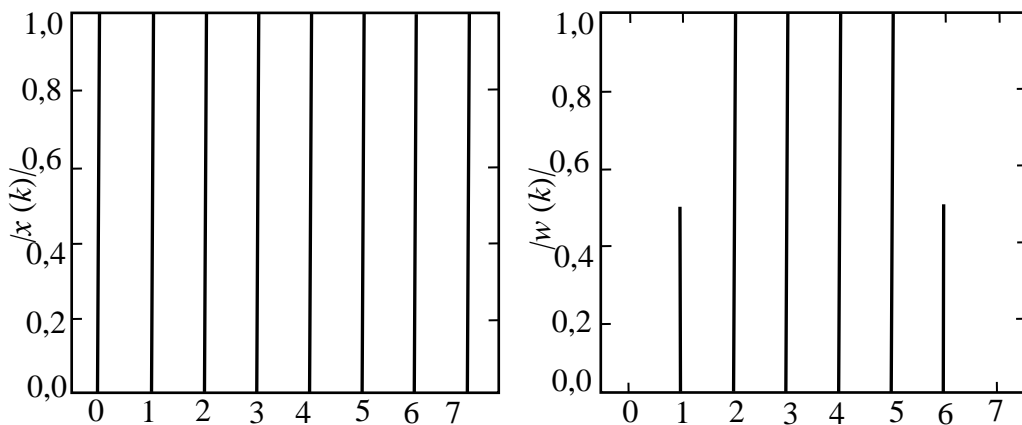


Рис. 5. Графики последовательностей  $x(k)$  и  $w(k)$

*Решение.*

$$\begin{aligned}
 Y(n) &= \frac{1}{8} \sum_{k=0}^7 x(k) w(k) e^{-j2\pi \frac{nk}{8}} \\
 &= \frac{1}{8} \left( 0,5e^{-j2\pi \frac{n}{8}} + 0,5e^{-j2\pi \frac{2n}{8}} + e^{-j2\pi \frac{3n}{8}} + e^{-j2\pi \frac{4n}{8}} + e^{-j2\pi \frac{5n}{8}} + e^{-j2\pi \frac{6n}{8}} \right) = \\
 &= \frac{1}{8} \left( \begin{aligned} &0,5e^{-j2\pi \frac{n}{8}} \left( 1 + e^{-j2\pi \frac{n}{8}} \right) + 0,5e^{-j2\pi \frac{2n}{8}} \left( 1 + e^{-j2\pi \frac{n}{8}} \right) + 0,5e^{-j2\pi \frac{3n}{8}} \left( 1 + e^{-j2\pi \frac{n}{8}} \right) + \\ &+ e^{-j2\pi \frac{4n}{8}} \left( 1 + e^{-j2\pi \frac{n}{8}} \right) + 0,5e^{-j2\pi \frac{5n}{8}} \left( 1 + e^{-j2\pi \frac{n}{8}} \right) \end{aligned} \right) = \\
 &= \frac{1}{8} 0,5 \left( 1 + e^{-j2\pi \frac{n}{8}} \right) \left( e^{-j2\pi \frac{n}{8}} + e^{-j2\pi \frac{2n}{8}} + e^{-j2\pi \frac{3n}{8}} + e^{-j2\pi \frac{4n}{8}} + e^{-j2\pi \frac{5n}{8}} \right) = \\
 &= \frac{1}{8} \cos \left( 2\pi \frac{n}{16} \right) e^{-j2\pi \frac{n}{16}} e^{-j2\pi \frac{n}{8}} \frac{1 - e^{-j2\pi \frac{5n}{8}}}{1 - e^{-j2\pi \frac{n}{8}}} = \\
 &= \frac{1}{8} \cos \left( 2\pi \frac{n}{16} \right) e^{-j2\pi \frac{n}{16}} e^{-j2\pi \frac{n}{8}} \frac{e^{-j2\pi \frac{5n}{8} \sin \left( 2\pi \frac{5n}{16} \right)}}{e^{-j2\pi \frac{n}{16} \sin \left( 2\pi \frac{n}{16} \right)}} = \\
 &= \frac{1}{8} e^{-j2\pi \frac{7n}{16}} \frac{\sin \left( 2\pi \frac{5n}{16} \right) \cos \left( 2\pi \frac{n}{16} \right)}{\sin \left( 2\pi \frac{n}{16} \right)}.
 \end{aligned}$$

Коэффициенты  $Y(n) = W(n)$  изображены на рис. 6.

Аналогичным образом найдем ДВПФ последовательности  $w(k)$ :

$$W_d(v) = \frac{1}{8} \sum_{k=0}^7 w(k) e^{-j2\pi vk} = e^{-j7\pi v} \frac{\sin(5\pi v) \cos(\pi v)}{\sin(\pi v)}.$$

Для того, чтобы оценить «гребешковый эффект», определим коэффициент, который характеризует амплитуду гармонического сигнала на выходе ДПФ-анализатора в самом неблагоприятном случае, когда частота сигнала находится между соседними бинами ДПФ (см. рис. 6):

$$K = 20 \lg \frac{W_d \left( v = \frac{n=1/2}{N} \right)}{W_d \left( v = \frac{n}{N} \right)}.$$

Коэффициент в нашем случае равен  $-1,55$  дБ. Для сравнения, заметим, что в случае прямоугольного окна, данный коэффициент был бы равен  $-3,86$  дБ, а в случае треугольного  $-2,71$  дБ.

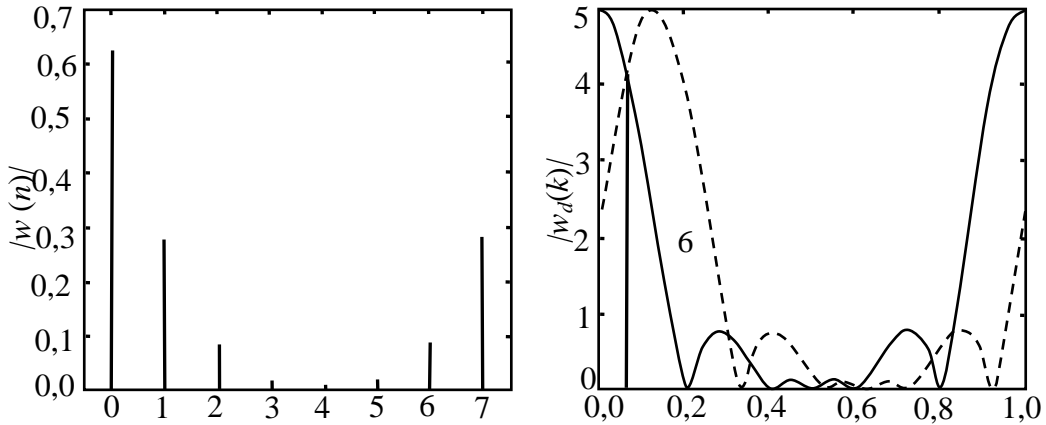


Рис. 6. Графики ДПФ и ДВПФ последовательности  $w(k)$

**Задача 3.** Даны три последовательности, каждая из которых состоит из двух косинусоид с разными относительными частотами:

$$x_1(k) = \cos \frac{\pi k}{4} + \cos \frac{17\pi k}{64}$$

$$x_2(k) = \cos \frac{\pi k}{4} + 0.8 \cos \frac{21\pi k}{64}$$

$$x_3(k) = \cos \frac{\pi k}{4} + 0.008 \cos \frac{21\pi k}{64}$$

Реальная оценка спектра сигнала проводится с помощью окна  $N = 64$  ДПФ. Указать оценки, в которых будут отличаться два пика. Окно прямоугольное.

*Решение.*

$$x_1(k) = \cos \frac{\pi k}{4} + \cos \frac{17\pi k}{64} = \cos 2\pi k \frac{8}{64} + \cos 2\pi k \frac{8.5}{64}$$

$$x_2(k) = \cos \frac{\pi k}{4} + 0.8 \cos \frac{21\pi k}{64} = \cos 2\pi k \frac{8}{64} + 0.8 \cos 2\pi k \frac{10.5}{64} \quad ,$$

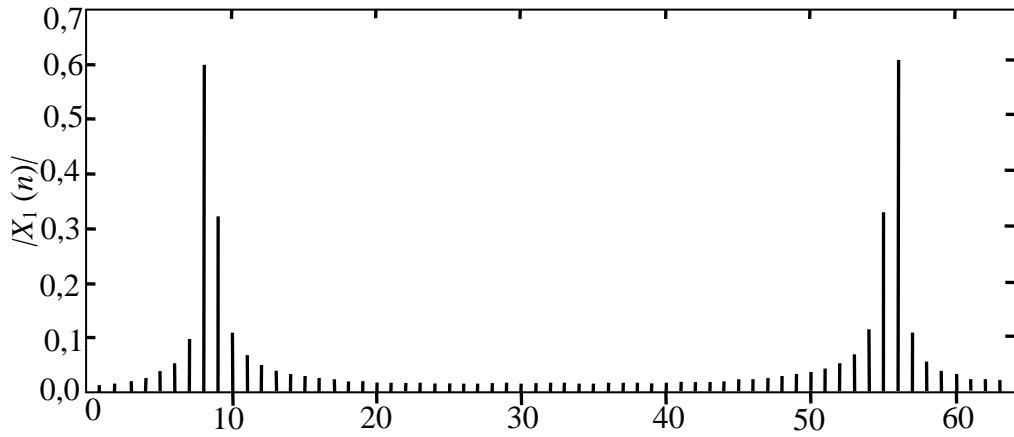
$$x_3(k) = \cos \frac{\pi k}{4} + 0.008 \cos \frac{21\pi k}{64} = \cos 2\pi k \frac{8}{64} + 0.008 \cos 2\pi k \frac{10.5}{64}$$

Спектральное окно:

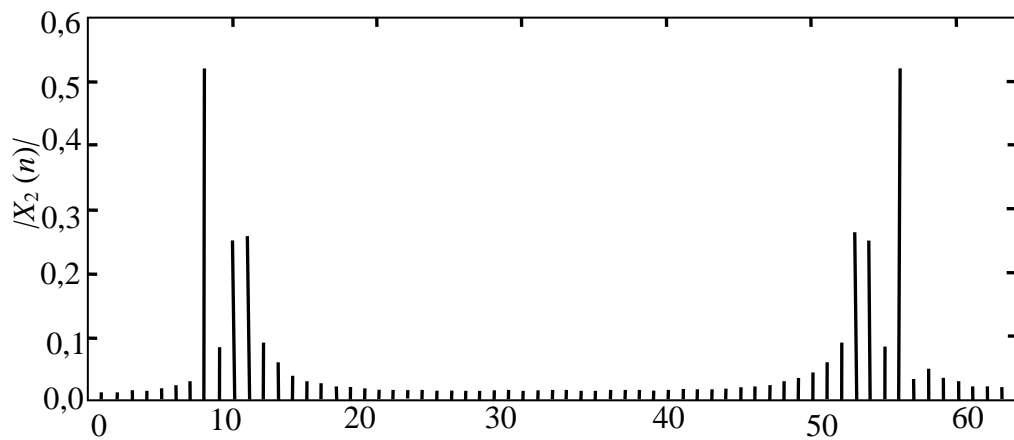
$$W(\nu) = e^{-j\nu(N-1)} \frac{\sin \pi \nu (N+1)}{\sin \pi \nu} = e^{-63j\nu} \frac{\sin 65\pi \nu}{\sin \pi \nu}$$

Для сигнала  $x_1(k)$  два пика различаться не будут, т. к. они находятся слишком близко  $\Delta \nu_1 = \frac{1}{2N}$ , на расстоянии, меньшем разрешающей способности окна (см. рис.7а)

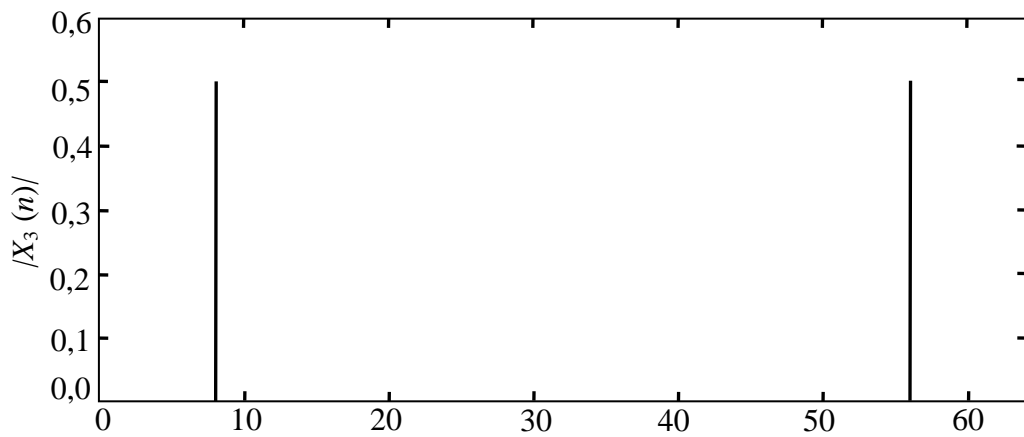
Для сигнала  $x_2(k)$  два пика можно различить. Расстояние между пиками составляет  $\Delta \nu_1 = \frac{2.5}{N}$ .



(а) График ДПФ последовательности  $x_1(k)$



(б) График ДПФ последовательности  $x_2(k)$



(в) График ДПФ последовательности  $x_3(k)$

Рис. 7. Графики к задаче 3



Для сигнала  $x_2(k)$  два пика можно различить. Расстояние между пиками составляет  $\Delta v_1 = \frac{2.5}{N}$ .

Нормированная АЧХ при этом составляет  $\frac{W(\Delta v_2)}{W(0)} = 0.12 < 0.8$ , следовательно, боковые лепестки от

пика в  $v = \frac{8}{64}$  не сильно влияют на пик  $v = \frac{10.5}{64}$  (см. рис. 7б).

В случае сигнала  $x_3(k)$  второй пик  $v = \frac{10.5}{64}$  будет неразличим, поскольку уровень бокового лепестка от пика  $v = \frac{8}{64}$  превышает уровень главного лепестка второго пика:  $0.12 \gg 0.008$  (см. рис. 7в).

*Ответ:* два пика будут различаться только в оценке  $x_2$ .

#### Задача 4.

Для данных последовательности  $x(k)$  и окна  $w(k)$  вычисляется взвешенная последовательность  $y(k) = x(k)w(k)$ . При длине окна  $N=2^8$  требуется добиться разрешения  $\Delta\Theta_0 = \frac{\pi}{25}$ ,  $\Theta = 2\pi v = \Delta t$ .

Разрешение совпадает с шириной главного лепестка на нулевом уровне. Какие из окон (прямоугольное, треугольное, Ханна, Хемминга) удовлетворяет условию задачи?

*Решение.*

$$\Delta\Theta_0 = \frac{\pi}{25} \Rightarrow \Delta v_0 = \frac{1}{50} = 0.02$$

Таким образом, прямоугольное окно удовлетворяет условию задачи.

У треугольного окна главный лепесток в два раза шире, его ширина составляет  $\frac{4}{N} = 2^{-6}$ , что тоже меньше, чем 0.02. Треугольное окно тоже удовлетворяет условию задачи. Ширина окна Ханна на нулевом уровне составляет 4 бина, т.е.  $\frac{4}{N} = 2^{-6}$ . Окно Ханна удовлетворяет задаче. Главный лепесток окна Хемминга тоже имеет ширину 4 бина, поэтому оно тоже удовлетворяет условию задачи.

*Ответ:* все окна (прямоугольное, треугольное, Ханна, Хемминга) удовлетворяет условию задачи.

**Задача 5.**

Дана последовательность  $x(k)$  и её ДПФ  $X(n)$ ,  $n, k=0 \dots N-1$ . Последовательности  $x_1(k)$  и  $x_2(k)$  содержат в себе, соответственно, четные и нечетные последовательности  $x(k)$ . Их ДПФ, соответственно,  $X_1(n)$  и  $X_2(n)$ . Определить связь между  $X(n)$ ,  $X_1(n)$  и  $X_2(n)$ .

*Решение.*

$$X_1(n) = \frac{2}{N} \sum_{k=0}^{\frac{N}{2}-1} x_1(k) e^{-j\frac{2\pi}{N}2nk} = \frac{2}{N} \sum_{k=0}^{\frac{N}{2}-1} x(2k) e^{-j\frac{2\pi}{N}n(2k)},$$

$$X_2(n) = \frac{2}{N} \sum_{k=0}^{\frac{N}{2}-1} x_2(k) e^{-j\frac{2\pi}{N}2nk} = \frac{2}{N} \sum_{k=0}^{\frac{N}{2}-1} x(2k+1) e^{-j\frac{2\pi}{N}n(2k+1)} = e^{j\frac{2\pi}{N}n} \frac{2}{N} \sum_{k=0}^{\frac{N}{2}-1} x(2k+1) e^{-j\frac{2\pi}{N}n(2k+1)},$$

$$X(n) = \frac{1}{N} \sum_{k=0}^{N-1} x(k) e^{-j\frac{2\pi}{N}nk} = \frac{1}{2} X_1(n) + \frac{1}{2} e^{-j\frac{2\pi}{N}n} X_2(n).$$

Если вычислять ДПФ без нормирующего множителя  $\frac{1}{N}$ , то получится связь:

$$X(n) = X_1(n) + e^{-j\frac{2\pi}{N}n} X_2(n).$$

Это соотношение играет ключевую роль для понимания алгоритма быстрого преобразования Фурье (БПФ) с основанием 2.

**Упражнение 1. Восстановление спектральной плотности по коэффициентам ДПФ.**

Пусть  $x(k)$  –  $N$ -точечная последовательность. ДВПФ этой последовательности

$$X(\nu) = \Delta t \sum_{k=0}^{N-1} x(k) e^{-j2\pi\nu k},$$

где  $\nu = f \Delta t = f / f_d$  – нормированная частота (доли частота дискретизации). Используя формулу обратного ДПФ, получим

$$X(\nu) = \Delta t \sum_{k=0}^{N-1} \left[ \sum_{n=0}^{N-1} X(n) e^{j\frac{2\pi}{N}nk} \right] e^{-j2\pi\nu k} = \Delta t \sum_{n=0}^{N-1} X(n) \sum_{k=0}^{N-1} e^{-j2\pi(\nu - \frac{n}{N})k}.$$

Просуммируем  $N$  членов геометрической прогрессии:

$$\sum_{k=0}^{N-1} e^{-j2\pi(\nu - \frac{n}{N})k} = \frac{1 - e^{-j2\pi(\nu - \frac{n}{N})N}}{1 - e^{-j2\pi(\nu - \frac{n}{N})}} = \frac{e^{-j\pi(\nu - \frac{n}{N})N} \sin \pi(\nu - \frac{n}{N})N}{e^{-j\pi(\nu - \frac{n}{N})} \sin \pi(\nu - \frac{n}{N})} =$$

$$= e^{-j\pi(\nu - \frac{n}{N})(N-1)} \frac{\sin \pi(\nu - \frac{n}{N})N}{\sin \pi(\nu - \frac{n}{N})}.$$

Поэтому для  $X(\nu)$  можем записать

$$X(\nu) = \Delta t \sum_{n=0}^{N-1} X(n) \frac{\sin \pi(\nu - \frac{n}{N})N}{\sin \pi(\nu - \frac{n}{N})} e^{-j\pi(\nu - \frac{n}{N})(N-1)}.$$

Это интерполяционная формула восстановления непрерывной функции  $X(\nu)$  по коэффициентам ДПФ  $X(n)$ . В точках  $\nu = n/N$  имеет место

$$X(n\Delta\nu) = N\Delta t X(n), \quad \Delta\nu = 1/N.$$

Таким образом, коэффициенты ДПФ  $X(n)$  можно рассматривать как отсчёты функции  $X(\nu)/N\Delta t$ , взятые с шагом  $\Delta\nu = 1/N$  в соответствии с теоремой отсчётов в частотной области. Значение спектральной плотности (1) в  $L$  равноотстоящих точках  $\nu = l\Delta\nu = l/L$ , при  $L > N$  определяются по формуле

$$X(\nu = \frac{l}{L}) = \Delta t \sum_{k=0}^{N-1} x(k) e^{-j2\pi \frac{l}{L} k}, \quad l = 0, 1, 2, \dots, N-1,$$

Тот же результат будет получен, если конечную последовательность  $x(k)$  длины  $N$  дополнить нулями до длины  $L$ :

$$\tilde{x}(k) = \begin{cases} x(k), & 0 \leq k \leq N-1, \\ 0, & N \leq k \leq L-1, \end{cases}$$

и найти ее ДПФ (1), заменяя  $N$  на  $L$

$$X(\nu = \frac{l}{L}) = \Delta t \sum_{k=0}^{L-1} x(k) e^{-j2\pi \frac{l}{L} k} = \Delta t \sum_{k=0}^{N-1} x(k) e^{-j2\pi \frac{l}{L} k}.$$

Напомним, что *разрешение по частоте*, под которым понимают минимальное расстояние между дискретными гармониками в ДПФ, определяется исключительно шагом дискретизации по частоте

$\Delta f = \frac{f_d}{N}$  и при фиксированной частоте дискретизации  $f_d$  зависит только от первоначальной длины последовательности, поскольку она и только она определяет спектральный состав последовательности. Потому увеличение длины конечной последовательности за счет добавления  $L - N$  нулей и, соответственно, уменьшение шага дискретизации по частоте до  $\Delta \tilde{f} = \frac{f_d}{L}$ , не меняет разрешения по частоте, а лишь улучшает условия различения близко расположенных частот гармоник.

**Упражнение 2. Улучшение различения гармоник с близко расположенными частотами**

Пусть  $x(k)$  –  $N$ -точечная последовательность. При ДПФ-анализе этой последовательности

$$X(n) = \sum_{k=0}^{N-1} x(k) e^{-j(2\pi/N)nk}, \quad n = 0, 1, 2, \dots, N-1$$

*частотное разрешение* равно шагу дискретизации по частоте  $\Delta f = \frac{f_d}{N}$  и при фиксированной частоте дискретизации  $f_d$  зависит только от первоначальной длины последовательности, поскольку она и только она определяет спектральный состав последовательности. Для улучшения различения дискретных гармоник с близко расположенными частотами  $f_1$  и  $f_2$ , расстояние между которыми удовлетворяет условию

$$\Delta f < |f_1 - f_2| < 2\Delta f,$$

исходную последовательность необходимо дополнить нулями до длины  $L$ :

$$L \geq \frac{f_d}{|f_1 - f_2| - \Delta f}.$$

После этого по  $L$  точкам восстановить спектральную плотность с шагом дискретизации по частоте  $\Delta\tilde{f} = \frac{f_d}{L}$  и по графику определить ближайшие пики на частотах близких к  $f_1$  и  $f_2$ . В общем случае эти частоты могут быть не кратными шагу  $\Delta\tilde{f}$  и будут определены с погрешностью.

### Задачи для самостоятельного решения к лекции 18 февраля 2019 г.

1. Рассмотреть спектральную оценку дискретного сигнала  $x(k)$ , полученную с помощью ДПФ и окна Хемминга  $w(k)$ . При практическом спектральном анализе пользуются правилом, согласно которому частотное разрешение равно ширине главного лепестка  $W(\nu)$ . При какой наименьшей длине  $N = 2^V$  удастся идентифицировать синусоидальные сигналы, разность частот которых составляет  $\pi/100$ .

2. Паразитная амплитудная модуляция количественно оценивается коэффициентом модуляции  $K_{\text{мод}}$ , который характеризует амплитуду гармонического сигнала на выходе ДПФ анализатора с оконной функцией  $W(\nu)$ . В самом неблагоприятном случае частота сигнала находится между соседними бинами ДПФ. Величина  $K_{\text{мод}}$ , выраженная в децибелах, определяется как

$$K_{\text{мод}} = 20 \lg \frac{W\left(\nu = \frac{n+1/2}{N}\right)}{W\left(\nu = \frac{n}{N}\right)}.$$

Определить  $K_{\text{мод}}$  для прямоугольного окна и для окна Ханна.

Для снижения этой погрешности можно воспользоваться методом дополнения исходной реализации нулями до  $2N$  отсчетов. Для рассматриваемых окон и новой сетки частот ДПФ определить значения  $K_{\text{мод}}$  (также в самом неблагоприятном случае).

3. Анализируемый сигнал  $x(k)$  представляет собой сумму  $M$  синусоидальных составляющих и, возможно, белого шума  $x_{\text{ш}}(k)$ :

$$x(k) = \sum_{m=1}^M A_m \sin(2\pi\nu_m k + \varphi_m) + x_{\text{ш}}(k), \quad (1)$$

где  $A_m, \nu_m, \varphi_m$  – соответственно амплитуда, частота и фаза  $m$ -й синусоидальной составляющей;  $k = 0, 1, 2, \dots, N-1$ . Исходными данными являются  $N$  отсчетов сигнала  $x(k\Delta t)$ , т. е. время наблюдения равно  $T = N\Delta t$ . Конечность времени наблюдения составляет основную особенность спектрального анализа.

Пусть в (1)  $M > 1$ ,  $x_{\text{ш}} = 0$ , известны частоты синусоидальных составляющих  $\nu_1, \nu_2, \dots, \nu_M$ . Требуется оценить неизвестные амплитуды  $A_1, A_2, \dots, A_M$  и фазы  $\varphi_1, \varphi_2, \dots, \varphi_M$  синусоидальных составляющих.